

УДК 532.526

## РАСЧЕТНЫЕ ИССЛЕДОВАНИЯ ВЗАИМОДЕЙСТВИЯ ВОЛН ТОЛЛМИНА–ШЛИХТИНГА В СЖИМАЕМОМ ПОГРАНИЧНОМ СЛОЕ\*

Г.В. ПЕТРОВ

*Институт теоретической и прикладной механики  
им. С.А. Христиановича СО РАН, Новосибирск*

Выполнены расчеты нелинейного развития пар косых волн Толлмина–Шлихтинга в пограничном слое на пластине при  $M = 2$  с использованием нелокальных (параболизированных) уравнений устойчивости. Кроме таких волн во взаимодействии участвует порождаемая ими гармоника.

В работе [1] результат взаимодействия двух вынужденных линейных волновых возмущений пограничного слоя на пластине представляется также в виде волны  $\mathbf{Y} = \mathbf{Z} \exp \left\{ i \left( \int \alpha(x) dx + \beta z - \omega t \right) \right\}$ , где  $\mathbf{Y} = \mathbf{Y}(x, y, z, t)$  — вектор, компонентами которого являются возмущения скорости и других параметров течения;  $\mathbf{Z} = \mathbf{Z}(x, y)$ ,  $t$  — время,  $x, y, z$  — декартовы координаты,  $i$  — мнимая единица,  $\omega = \omega_1 + \omega_2$ ,  $\beta = \beta_1 + \beta_2$ ,  $\omega_{1,2}$ ,  $\beta_{1,2}$  — частоты и волновые числа внешних возмущений (вещественные константы). Уравнение для  $\mathbf{Z}$  имеет вид  $\mathbf{LZ} = \mathbf{N}(\mathbf{Z}_1, \mathbf{Z}_2) \exp \left\{ i \int (\alpha_1 + \alpha_2 - \alpha) dx \right\}$ , где  $\mathbf{L}$  — линейный параболизированный оператор, компоненты вектора  $\mathbf{N}$  суммируются из членов, содержащих произведения  $\tilde{a}_1 \tilde{b}_2$  компонентов векторов  $\mathbf{Z}_1$  и  $\mathbf{Z}_2$  исходных возмущений. Функция  $\alpha(x)$  вычисляется с условием затухания возмущения вне пограничного слоя, и, в отличие от случая параллельного течения, соотношение  $\alpha = \alpha_1 + \alpha_2$  выполняется лишь приближенно.

Без каких-либо изменений метод, описанный в работе [1], может быть использован в случае пары собственных, а не вынужденных, инициирующих возмущений. Но в отличие от [1] в настоящей работе рассматривается также обратное воздействие на волны Толлмина–Шлихтинга. Используются уравнения:

$$\mathbf{L}_j \mathbf{Z}_j = \mathbf{N}(\mathbf{Z}_3, \bar{\mathbf{Z}}_k) \exp \left\{ i \int (\alpha_3 - \bar{\alpha}_k - \alpha_j) dx \right\}, \quad j = 1, 2; \quad k = 3 - j,$$

$$\mathbf{L}_3 \mathbf{Z}_3 = \mathbf{N}(\mathbf{Z}_1, \mathbf{Z}_2) \exp \left\{ i \int (\alpha_1 + \alpha_2 - \alpha_3) dx \right\},$$

основанные на том, что как  $\mathbf{Y}_k$ , так и комплексно-сопряженный вектор  $\bar{\mathbf{Y}}_k$  представляют одну и ту же волну. Соответственно параметры  $\omega_k$ ,  $\alpha_k$ ,  $\beta_k$  нелинейного оператора  $\mathbf{N}$  в первых двух уравнениях меняются на  $-\omega_k$ ,  $-\bar{\alpha}_k$ ,  $-\beta_k$ .

\* Работа выполнена при финансовой поддержке Президента РФ (грант НШ № 2005-РП-112/001/742) и РФФИ (гранты № 05-01-00079, 05-01-00176).

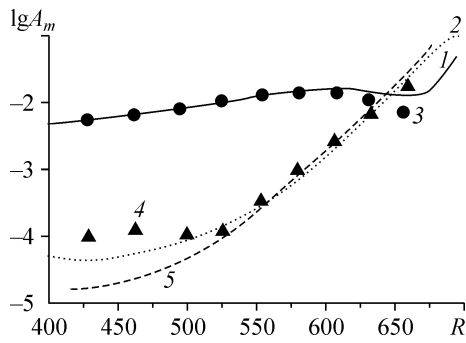


Рис. 1. Наибольшие амплитуды возмущения потока массы при  $M = 0,01$ .

$\omega = 12,4 \cdot 10^{-5}$ ,  $\beta = 0$  (1, 3);  $\omega = 6,2 \cdot 10^{-5}$ ,  $\beta = \pm 32 \cdot 10^{-5}$  (2, 4, 5); эксперимент [2] (3, 4); расчеты [3] (5).

Для решения приведенной системы на каждом шаге маршевой схемы осуществляется круговой итерационный процесс, в ходе которого нелинейные члены вычисляются по результатам предыдущей итерации, что позволяет решать эти уравнения для отдельно взятых векторов  $Z_j$  по очереди.

Очевидно, что описанным методом из [1] можно решать также задачу взаимодействия трех волн Толлмина–Шлихтинга при условии  $\alpha_3 \approx \alpha_1 + \alpha_2$ . Для проверки метода выполнены расчеты для числа Маха  $M = 0,01$ , частоты плоской волны  $\omega = 12,4 \cdot 10^{-5}$ , волновых чисел субгармоник (волн с половиной частотой)  $\beta = \pm 32 \cdot 10^{-5}$ . Значения  $\omega$  и  $\beta$  обезразмерены на  $u_\infty^2/v_\infty$  и  $u_\infty/v_\infty$  соответственно, где  $u$  — продольная составляющая скорости,  $v$  — кинематическая вязкость, индекс  $\infty$  относится к значениям величин в набегающем потоке.

Результаты, приведенные на рис. 1, представляют зависимость наибольших по сечениям пограничного слоя  $x = \text{const}$  значений  $A_m$  относительных амплитуд возмущения потока массы  $A = |\rho \hat{u} + u \hat{\rho}| / (\rho_\infty u_\infty)$  от  $R = \sqrt{u_\infty x / v_\infty}$ , где  $\rho$  — плотность,  $\hat{\rho}, \hat{u}$  — возмущения в комплексном представлении. Они согласуются с экспериментальными данными [2] несколько лучше, чем теоретические результаты из [3] (см. также обзор [4]).

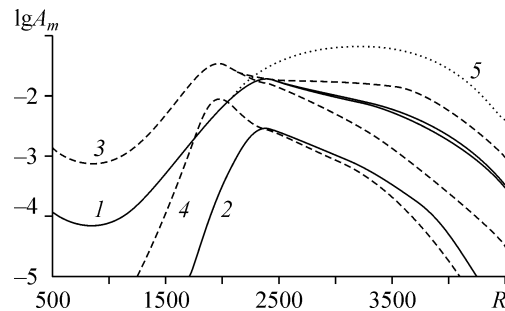
Расчеты при  $M = 2$  выполнены для совершенного газа с отношением теплоемкостей  $\gamma = 1,4$ , вязкостью, определяемой законом Саттерленда, с постоянной  $T_s = 110$  К. Температура торможения потока  $T_0 = 310$  К, пластина теплоизолированная.

Эксперименты с контролируруемыми возмущениями обычно проводятся при довольно больших (порядка 1 %) начальных амплитудах. Однако наибольший интерес при исследовании перехода течения в турбулентное состояние представляют возмущения значительно меньших начальных амплитуд, определяемых восприимчивостью течения к естественным внешним возмущениям. Причем нарастание возмущений в направлении их распространения должно быть достаточно большим, чтобы достичь интенсивности, при которой проявляется нелинейность. По линейной теории устойчивости наибольшего роста при  $M = 2$  достигают возмущения достаточно низкой частоты, волновые векторы которых направлены под углом примерно  $60^\circ$  к направлению потока.

Кривая 1 на рис. 2 соответствует симметричной паре волн Толлмина–Шлихтинга с параметрами  $\omega_{1,2} = 10^{-5}$ ,  $\beta_{1,2} = 4 \cdot 10^{-5}$  и значением амплитуды в точке начала ее

Рис. 2. Наибольшие амплитуды возмущения потока массы при  $M = 2$  и разных начальных амплитудах.

$\omega = 10^{-5}$ ,  $\beta = \pm 4 \cdot 10^{-5}$  (1, 3);  $\omega = 2 \cdot 10^{-5}$ ,  $\beta = 0$  (2, 4); линейная теория (5).



нарастания  $A^* = \min[A_m(R)]$ , равным  $6,56 \cdot 10^{-5}$ , а кривая 2 — порожденной их взаимодействием волне с параметрами  $\omega_3 = 2 \cdot 10^{-5}$ ,  $\beta_3 = 0$  и нулевой начальной амплитудой. Отметим, что последняя не является волной Толлмина–Шлихтинга: ее фазовая скорость  $c = \omega/\text{Re}(\alpha)$  практически совпадает с фазовой скоростью инициирующей пары волн и имеет, например, при  $R = 1400$  значение 0,45, тогда как соответствующее значение для плоской волны Толлмина–Шлихтинга равно 0,55 и не может быть меньше, чем  $1 - 1/M = 0,5$ . Кроме того, по линейной теории плоская волна при  $M = 2$  растет очень медленно. Попытки включить ее в волновую триаду вместо порождаемой волны приводят к тому, что, когда амплитуды этих волн сравниваются, компьютерная программа переходит к расчету порождаемой волны с соответствующим скачком фазовой скорости.

Сравнение с результатами линейной теории (кривая 5) показывает, что уже при заданном уровне взаимодействие возмущений приводит к значительному ограничению роста амплитуд.

На порядок большим начальным амплитудам соответствуют кривые 3, 4 на рис. 2. Видно, что линия 3 разветвляется, т. е. симметрия начального возмущения нарушается.

На рис. 3, 4 представлены возмущения, инициированные также двумя косыми волнами Толлмина–Шлихтинга, но одна из них имеет в два раза большую частоту  $\omega_2 = 2\omega_1$  и волновое число  $\beta_2 = -2\beta_1$ . Сплошные и штриховые линии на рис. 3 соответствуют начальным амплитудам приблизительно  $6,5 \cdot 10^{-5}$  (кривые 1, 2 на рис. 3, а) и  $3,3 \cdot 10^{-5}$  (кривые 4, 5 на рис. 3, б). Кривая 1 показывает, что до значений  $R \approx 3100$  основная волна развивается в соответствии с линейной теорией, представленной кривой 7 на рис. 3, а. При уменьшении начальных амплитуд в два раза это соответствие (кривая 4) сохраняется на всем протяжении пластины, т. к. амплитуды возмущений кратных частот, представленные кривыми 5, 6, достаточно малы. В первоначальном же случае они (кривые 2, 3) достигают и превышают значение амплитуды возмущения основной частоты, которое затем также начинает нарастать.

Аналогичная ситуация представлена на рис. 1, но обгоняющими по амплитуде здесь являются не гармоники, а волны половинной частоты (субгармоники). В [5] и последующих исследованиях резонансных триад волн Толлмина–Шлихтинга такое их развитие трактуется как начало перехода пограничного слоя в турбулентное состояние. В настоящей работе рассматривается взаимодействие

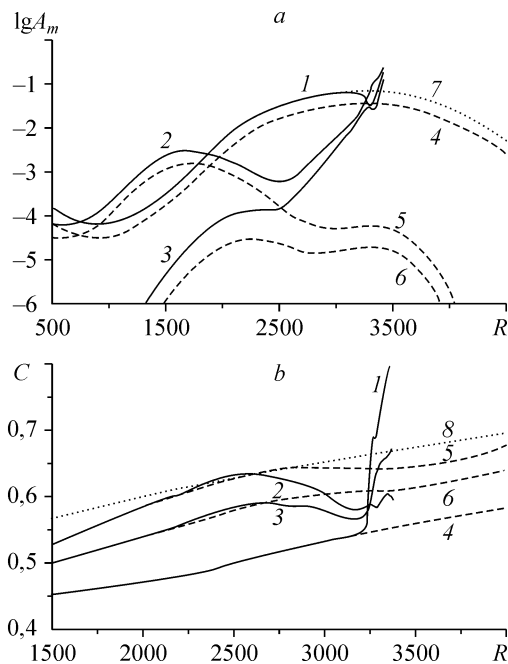


Рис. 3. Наибольшие амплитуды возмущения потока массы (а) и фазовые скорости (б) при  $M = 2$  и разных начальных амплитудах.

$\omega = 10^{-5}$ ,  $\beta = 4 \cdot 10^{-5}$  (1, 4, 7 — линейная теория);  $\omega = 2 \cdot 10^{-5}$ ,  $\beta = -8 \cdot 10^{-5}$  (2, 5);  $\omega = 3 \cdot 10^{-5}$ ,  $\beta = -4 \cdot 10^{-5}$  (3, 6, 8 — линейная теория).

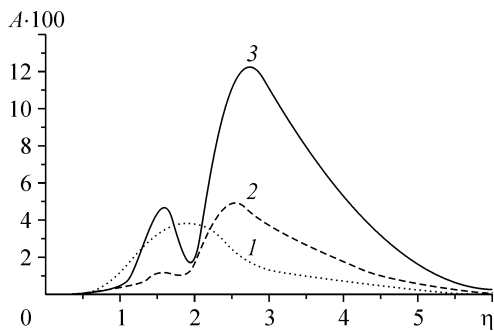


Рис. 4. Профили амплитуды возмущения потока массы при  $M = 2$ .

$\omega = 10^{-5}$ ,  $\beta = 4 \cdot 10^{-5}$ ,  $A^* = 6,5 \cdot 10^{-5}$ .  $R = 3238$  (1), 3305 (2), 3358 (3).

произвольных пар волн Толлмина–Шлихтинга и этот эффект обнаружен при начальном уровне возмущения, почти на два порядка меньшем, чем ранее.

Сравнение фазовых скоростей, представленных на рис. 3, а, указывает на то, что порожденная волна (кривая 3) значительно отличается от волны Толлмина–Шлихтинга с теми же параметрами (кривая 8). Заметно сближение фазовых скоростей гармоник (кривые 2, 3) с фазовой скоростью основной волны при больших  $R$  вплоть до начала быстрого роста амплитуды последней. Этот рост сопровождается резким увеличением фазовой скорости основной волны, а также видимым на рис. 4 (где  $\eta = \sqrt{u_\infty / (v_\infty x)} \int_0^y (\rho / \rho_\infty) dy$  — переменная подобия пограничного слоя)

смещением пика амплитуды к границе пограничного слоя и появлением второго пика.

#### СПИСОК ЛИТЕРАТУРЫ

1. Петров Г. В. Акустическое возбуждение волны Толлмина–Шлихтинга в сжимаемом пограничном слое на шероховатой пластине // Теплофизика и аэромеханика. — 2005. — Т. 12, № 2. — С. 209–218.
2. Качанов Ю. С., Левченко В. Я. Резонансное взаимодействие возмущений при переходе к турбулентности в пограничном слое // ИТГИМ РАН, Препринт № 10 – 82. — Новосибирск, 1982. — 55 с.
3. Herbert T. Analysis of the subharmonic route to transition in boundary layers // AIAA Paper. — No. 84–0009, 1984.
4. Kachanov Y. S. Physical mechanisms of laminar-boundary-layer transition // Annu. Rev. Fluid Mech. — 1994. — Vol. 26. — P. 411–482.
5. Володин А. Г., Зельман М. Б. Трехволновое резонансное взаимодействие возмущений в пограничном слое // Изв. АН СССР. Механика жидкости и газа. — 1978. — № 5. — С. 78–84.

Статья поступила в редакцию 21 ноября 2005 г.